



## Energy and Exergy-Economic Investigation of a Combined Cycle of Simultaneous Production of Rankine Steam and Ejector Refrigeration Cycle Using Solar Energy\*

Research Article

Kourosh Javaherdeh<sup>1</sup> , Shadi Safari Sabet<sup>2</sup>

 [10.22067/jacsm.2024.88420.1267](https://doi.org/10.22067/jacsm.2024.88420.1267)

### Abstract

In recent years, increasing usage of fossil fuels has caused many environmental problems. So, exploitation of clean and renewable sources of energies such as solar energy is considered more seriously among the scientific communities and valuable research has been done about the possibility of this energy as source of different power, cooling and heating generation systems. In this research at first the cogeneration system comprises the cascade steam Rankine cycle, absorption cycle and vapor compression cycle with parabolic trough solar collector as heat source are simulated from energy, exergy, economic and exergoeconomic point of view. The simulation proceeds as follows: first, the mass, energy, and exergy conservation equations are written, and then, using the cost balance equation for each system component, the investment cost and exergy destruction cost rate are calculated. The result in basic input mode shows that total work output, total exergy destruction and net exergy efficiency are 35.21 KW, 356.8 KW and 12.5% respectively. The exergoeconomic results show that total cost rate is 56.86 \$/hr and total exergoeconomic factor is 45.02 % that shows a good balance between initial and exergy destruction cost rates. Also solar collector and steam turbine should be further considered from the exergoeconomic viewpoint since these components have the highest value of cost rate. At the end, a parametric analysis is done in order to the investigation of the effect of change steam evaporator temperature, pinch point temperature different, steam condenser temperature and generator temperature on system performance from energy, exergy and exergoeconomic point of view.

**Key Words** Solar energy, Steam Rankine cycle, Absorption refrigeration cycle, Vapor compression cycle

with ejector, Energy, Exergoeconomic.

### 1. Introduction

In the past years, studies have been carried out using the steam Rankine cycle, cascade cycle, and refrigeration cycle. In this research, the thermodynamic characteristics of cycles have been investigated and their performance optimized. However, the research on the possibility of combining the above three cycles for the simultaneous production of power and cooling has not been done, which is the main case for this research. A new combination method of exergy loss and primary equipment price is introduced to improve the economic optimization of the system. This method claims that exergy loss and not energy loss is a suitable concept that can be combined economically and thereby improve system performance. In the research, the performance of a new cascade system consisting of a steam Rankine cycle, absorption refrigeration cycle, and compression-ejection cycle with solar energy drive is introduced and studied in terms of energy and exergy economics. The performance of the system is that solar energy is used as the driver of the steam cycle, the heat rejection in the steam cycle is used as the driver of the absorption cycle, and the absorption evaporator acts as the condenser of the condensation cycle. The proposed design of the current research is in the structure that has been examined and analyzed. The conducted research includes models for energy and exergy and economic analysis of these cycles, as well as innovations about the tools inside it, which are mentioned below. Bellos et al.[1] investigated the performance of the single-effect absorption cycle of lithium bromide water with solar energy drive from the perspective of energy and exergy. The results indicated that by choosing the solar exergy efficiency as the target, the linear parabolic

\*Manuscript received June 9, 2024. Revised August 19, 2024, Accepted October 26, 2024.

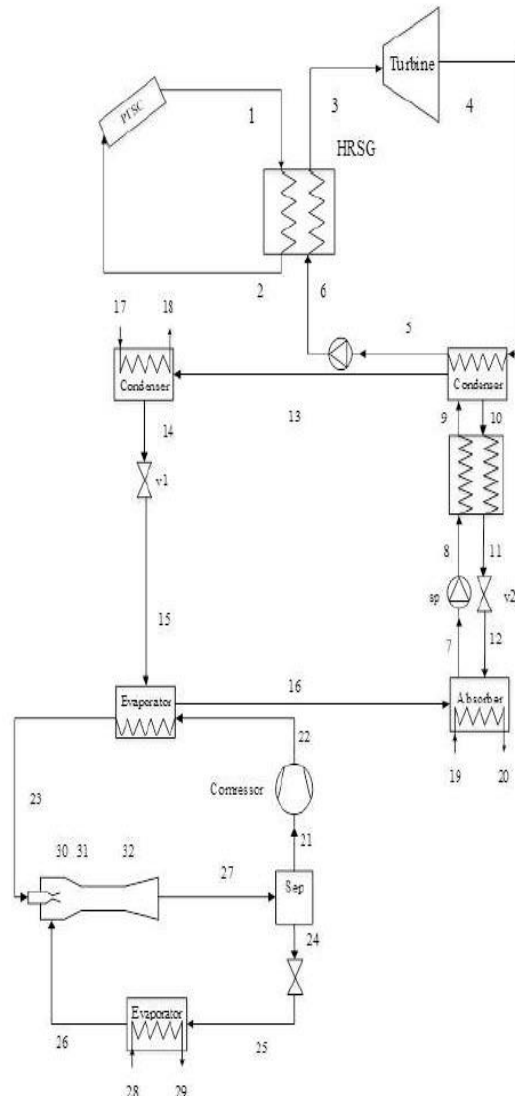
<sup>1</sup> Corresponding Author: Professor, Faculty of Mechanical Engineering, University of Guilan. Email: javaherdeh@gilan.ac.ir ,

<sup>2</sup> PhD student, Faculty of Mechanical Engineering, University of Guilan.

collector has the highest solar efficiency and the minimum required collector area. Nazeri et al.[2], studied and investigated the performance of the combined Rankine steam and organic system with waste gases as a propellant in terms of energy, exergy, and exergy-economics. The results indicated that using R124 fluid has the highest exergy efficiency value of 57.62%. Also, to determine the effect of increasing the inlet pressure of the steam and organic turbine, the pinch difference and the analysis of the organic buffer were carried out on the output boundaries. Finally, two-objective optimization was done by genetic algorithm and the results indicated that the best result can be achieved with R152a fluid. Also, Kardegar[3], in a research, presented an integrated solar-geothermal energy system. This energy system consists of a one-stage geothermal evaporation chamber, a single-effect absorption refrigeration cycle, a heat pump cycle for drying operations, a solar energy storage system, two steam turbines for power generation, cooling production for domestic use, and a heating system. It is made for use. The results show that the energy and exergy efficiency of this system is 92% and 57%, respectively.

## 2. Performance of the combined system

The schematic diagram of the combined system can be seen in Figure 1 and the schematic diagram of the temperature-heat transfer rate of the evaporator in the steam cycle to obtain the temperatures of different parts of the heat exchanger can be seen in Figure 2. As can be seen in the figure, the solar driving oil at point 1 acts as the driver of the combined system, and after reducing the temperature in the organic evaporator, it returns to the linear parabolic collector to increase the temperature again. The steam Rankine cycle is also a simple four-component cycle that produces power in the turbine and removes heat in the condenser. The heat rejection of the steam condenser is a suitable heat source for low-temperature thermodynamic cycles, and in this research, increasing the temperature of the steam condenser to 22 degrees Celsius is used as the stimulus for the lithium bromide-water single-stage absorption cycle. Also, as can be seen in the figure, a cascade converter is used as a relationship between the absorption and ejection compression cycle, and the desired cooling output is produced in the evaporator of the ejection compression cycle with fluid as a refrigerant. In the ejector compression cycle, instead of the common pressure relief valve of the compression cycle, the ejector is used to reduce the fluid pressure. The two-phase fluid coming out of the ejector is also converted into liquid and saturated vapor by the separator. After passing through the compressor and increasing the pressure, the saturated vapor goes to the cascade heat exchanger, and the saturated liquid after passing through the pressure relief valve and reducing the pressure goes to the evaporator and produces refrigerant. It should be mentioned that alcohol solution in water is considered.



**Figure 1: Schematic design of the combined system**

## 3. Discussion and review

Also, relationships related to exergy-economic analysis in different components of the combined system are simulated by EES software. This software has a subset of properties of different fluids, which will be useful for simulating the combined system due to the use of different fluids in different parts. In this part, first, to verify the results obtained, the output values related to the lithium bromide-water single-stage absorption chiller with reference results [4] with completely identical input items according to Figure 3, in Table 4 related to the ejector compression cycle with the results Reference [5] is compared with completely identical input cases according to Table 5 in Table 6. As can be seen, there is a good agreement between the obtained results and the reference results.

## 4- Results

The output values related to the energy rate and exergies of different cycle components as well as the exergy efficiency of different cycle components are listed in Table 7. As can be seen, the highest amount of exergy destruction

occurs in the solar collector and steam evaporator. Also, the highest exergy efficiency is related to the absorption evaporator/condensation condenser, and the lowest value of exergy efficiency is related to the absorption absorber and solar collector. Also, in the basic input mode, the total work base is 21.33 kW, the total irreversibility is 333.8 kW, and the overall exergy efficiency is 12.53%. Finally, Table 8 shows the exergy-economic results for the combined cycle. From the table, it is clear that the solar collector and steam turbine should be considered more than other components from an exergy-economic point of view because almost the largest amount belongs to these components. Also, as can be seen from the table, the absorption condenser has the lowest value of the exergy-economic factor. The value obtained for the mentioned component means that the price of exergy destruction prevails over the initial price, which reduces the exergy-economic factor. In the case of such components in the initial price increase cycle, it is recommended to reduce the amount of exergy degradation. This is achieved in heat exchangers by increasing the area of the heat exchanger (which leads to an increase in its initial price) and on the other hand, reducing the temperature difference in the heat exchanger (which leads to a decrease in irreversibility in the heat exchanger). Also, the unit cost of electrical energy produced by the turbine in the steam Rankine cycle is 31.43 dollars per gigajoule. In the end, it should be mentioned that the total value of the exergy-economic factor for the combined cycle is 43.52%. This value indicates that there is a relatively good balance between the cost rate of exergy destruction and the initial cost rate of the combined cycle.

## 5- Conclusion

In this research, the cogeneration cascade cycle consisting of the Steam Rankine Cycle, Absorption Refrigeration Cycle, and Thermal Cycle with a linear parabolic solar collector driver was simulated from the perspective of energy, exergy, economy, and exergy-economic. After checking the results in the basic input mode, bank analysis was done to check different effects on energy, exergy, economic and exergy-economic results. The results of this research indicated that:

- In the basic input mode, the total work is 21.35 kW, and the total irreversibility is 365.8 kW, and the overall exergy efficiency is 12.05%.
- The highest amount of exergy destruction occurs in the solar collector and steam cycle evaporator.
- The results of the analytical analysis indicate that increasing the steam evaporator creates a maximum for the overall work, increasing the exergy efficiency and reducing the costs, and has a positive effect on the performance of the combined system.
- Increasing the high-temperature difference decreases the work output, exergy efficiency, and overall rate.
- Increasing the steam condenser reduces the work output, exergy efficiency, and overall cost rate.
- Increasing the absorption generator increases work output, exergy efficiency, and overall cost rate.

## References

- [1] E. Bellos, C. Tzivanidis & K.A. Antonopoulos, "Exergetic, energetic and financial evaluation of a solar driven absorption cooling system with various collector types," *Applied Thermal Engineering*, vol. 102, no. 7, pp. 49-59, 2016. <https://doi.org/10.1016/j.enconman.2017.01.041>
- [2] N. Nazari, P. Heidarnejad & S. Porkhial, "Multi-objective optimization of a combined steam-organic Rankine cycle based on exergy and exergoeconomic analysis for waste heat recovery application," *Energy Conversion and Management*, vol. 127, no. 3, pp. 66-79, 2016. <https://doi.org/10.1016/j.enconman.2016.09.022>.
- [3] A. Kardgar, "Evaluation of an integrated solar-geothermal energy system to provide power, heat and cooling," *Journal of Applied and Computational Sciences in Mechanics*, vol. 34, no. 4, pp. 19-34, 2023. <https://doi.org/10.22067/jacsm.2022.76152.1108>
- [4] G. Florides, S. Kalogirou, S. Tassou, & L. Wrobel, "Design and construction of a LiBr-water absorption machine," *Energy Conversion and Management*, vol. 44, no. 2, pp. 483-508, 2003. [https://doi.org/10.1016/S0196-8904\(03\)00006-2](https://doi.org/10.1016/S0196-8904(03)00006-2)
- [5] H. Li, F. Cao, X. Bu, L. Wang, & X. Wang, "Performance characteristics of R1234yf ejector-expansion refrigeration cycle," *Applied Energy*, vol. 121, no. 9, pp. 6-10, 2014. <https://doi.org/10.1016/j.apenergy.2014.01.079>





## بررسی اگزرزی-اقتصادی و انرژی یک سیکل تولید همزمان رانکین بخار و سیکل تبرید اجکتوری با استفاده از انرژی خورشیدی\*

مقاله پژوهشی

شادی صفری ثابت<sup>(۲)</sup>

کورش جواهرده<sup>(۱)</sup>

doi [10.22067/jacsm.2024.88420.1267](https://doi.org/10.22067/jacsm.2024.88420.1267)

**چکیده** در این تحقیق سیکل تولید همزمان آبشاری رانکین بخار، سیکل جذبی و سیکل تراکمی اجکتوری با کلکتور خورشیدی سهمی از دیدگاه انرژی، اگزرزی، اقتصادی و اگزرزی - اقتصادی بررسی شده است. نتایج شبیه‌سازی نشان می‌دهد که در حالت ورودی پایه، کارکلی ۳۵/۲۱ کیلووات، بازگشت‌ناپذیری کلی ۳۶۵/۸ کیلووات و بازده اگزرزی کلی ۱۲۰/۵ درصد می‌باشد. نتایج تحلیل اگزرزی - اقتصادی نیز بیان می‌کند نرخ هزینه کلی ۵۶/۸۶ دلار بر ساعت بوده و مقدار فاکتور اگزرزی - اقتصادی ۴۵/۰۲ درصد است که نشان دهنده توازن مطلوب بین نرخ هزینه ابتدایی و نرخ هزینه تخریب اگزرزی در سیستم است. همچنین بررسی کلکتور خورشیدی و توربین بخار، به دلیل بیشترین مقدار نرخ هزینه حائز اهمیت است. در نهایت یک تحلیل پارامتریک به منظور بررسی اثر تغییر دمای اوپراتور بخار، اختلاف دمای پینچ اوپراتور بخار، دمای کندانسور بخار و دمای ژنراتور جذبی بر روی عملکرد سیستم از منظر انرژی، اگزرزی و اگزرزی - اقتصادی انجام شده است.

**واژه‌های کلیدی** انرژی خورشیدی، سیکل رانکین بخار، سیکل تبرید جذبی، سیکل تراکمی اجکتوری، انرژی، اگزرزی - اقتصادی.

آن عملکرد سیستم را بهبود بخشدید. در تحقیق حاضر عملکرد یک سیستم جدید آبشاری متشكل از سیکل رانکین بخار، سیکل تبرید جذبی و سیکل تراکمی - اجکتوری با محرک انرژی خورشیدی معرفی و از منظر انرژی و اگزرزی - اقتصادی مورد مطالعه و بررسی قرار می‌گیرد. عملکرد سیستم به این شکل بوده که از انرژی خورشیدی به عنوان محرک سیکل بخار، از دفع گرما در سیکل بخار به عنوان محرک سیکل جذبی استفاده شده و اوپراتور جذبی به عنوان کندانسور سیکل تراکمی عمل می‌کند. ساختار پیشنهادی تحقیق حاضر ساختار جدیدی بوده که مورد بررسی و تحلیل قرار گرفته است. تحقیقات انجام شده مدل‌هایی برای تحلیل انرژی و اگزرزی و اقتصادی این سیکل‌ها و همچنین نوآوری‌هایی درباره ابزارهای داخل آن را در بر می‌گیرد که در

### مقدمه

در سال‌های گذشته مطالعات مختلفی در مورد استفاده از سیکل رانکین بخار، سیکل آبشاری و سیکل تبرید اجکتوری انجام شده است. در این تحقیقات خصوصیات ترمودینامیکی سیکل‌ها مورد بررسی قرار گرفته و بهینه‌سازی عملکرد آن‌ها انجام شده است. اما تحقیقات در مورد امکان ترکیب سه سیکل فوق به منظور تولید همزمان قدرت و برودت انجام نشده است که این مورد انگیزه اصلی برای این تحقیق می‌باشد. روشی جدید ترکیبی از اتلاف اگزرزی و قیمت ابتدایی تجهیزات برای بهبود بخشدید بهینه‌سازی اقتصادی سیستم معرفی شده است. این روش ادعا می‌کند که اتلاف اگزرزی و نه اتلاف انرژی مفهوم مناسبی است که می‌توان آن را با پارامترهای اقتصادی ترکیب کرد و به وسیله

\*تاریخ دریافت مقاله ۱۴۰۳/۲۰ و تاریخ پذیرش آن ۱۴۰۳/۸/۵ می‌باشد.

(۱) دانشجوی دکتری، دانشکده مهندسی مکانیک، دانشگاه گیلان.

(۲) نویسنده مسئول: استاد، دانشکده مهندسی مکانیک، دانشگاه گیلان.

آلی و سیکل تراکمی - جذبی انجام دادند. در این تحقیق تحلیل انرژی، اگررژی و اقتصادی برای سیکل انجام گردید. نتایج نشان از بهبود عملکرد انرژی و سرمایش دارد. لیزارت و همکاران [7]، عملکرد سیکل ترکیبی رانکین و تراکمی بخار را از منظر انرژی و اگررژی مورد مطالعه قرار دادند. در این تحقیق از تولوئن به عنوان سیال در سیکل آلی و از آمونیاک و دی اکسید کربن به عنوان سیال عامل سیکل تراکمی استفاده شد. نتایج این بررسی حاکی از ضریب بیشینه  $0.79$  و بازده اگررژی  $31/6$  درصد برای سیکل مذکور بود. در مطالعه‌ای دیگر، غائبی و همکارانش [8]، یک سیکل تبرید ترکیبی جدید قدرت و اجکتور با ترکیب مناسب یک سیکل کالینا و یک سیکل تبرید اجکتور برای تولید توان خروجی و خروجی خنک‌کننده به طور همزمان پیشنهاد دادند. نتایج بهینه‌سازی نشان داد که چرخه پیشنهادی در حالت بهینه بر اساس توابع هدف انتخاب شده، مطلوب عمل می‌کند. علاوه بر این، می‌توان راندمان حرارتی را برای چرخه پیشنهادی با توجه به فشار مولد بخار، دمای مولد بخار و دمای منبع گرما به حداقل رساند. همچنین، نشان داده شده است که اجکتور سهم اصلی را در تلفات اگررژی دارد که توسط کندانسور دنبال شده است. همچنین، مقیمی و همکاران [9]، عملکرد یک پیکربندی جدید از یک سیکل ترکیبی سرمایش، گرمایش و برق که شامل یک سیکل برایتون، یک سیکل رانکین، یک سیکل تبرید اجکتوری و یک آبگرمکن خانگی با استفاده از انرژی مورد بررسی قرار گرفته دادند. تجزیه و تحلیل اگررژی - اقتصادی نتایج نشان می‌دهد که چرخه تولید توان و تبرید در مقایسه با یک چرخه ساده برایتون دارای اگررژی و بازده انرژی بیشتری است. با مقایسه چرخه تولید همزمان توان و قدرت با چرخه برایتون متناظر، مشخص شد که چرخه تولید همزمان نسبت به چرخه برایتون، بازده اگررژی ( $7\%$ ) و بازده انرژی ( $12\%$ ) بالاتری دارد. لی و همکاران [10]، عملکرد یک سیستم ترکیبی رانکین بخار و آلی را با محرك انرژی خورشیدی از منظر انرژی و اگررژی مورد بررسی قرار دادند. در این تحقیق بخار به طور مستقیم در کلکتور خورشیدی تولید و به منبسط کننده اسکرو جهت تولید قدرت فرستاده شد. همچنین از دفع گرمای کندانسور سیکل بالایی به عنوان محرك سیکل پایینی استفاده گردید. نتایج حاکی از بازده در رنج  $13/68$

زیر به آنها اشاره شده است. بلوس و همکاران [1]، عملکرد سیکل جذبی تک اثر لیتیم بروماید آب با محرك انرژی خورشیدی را از منظر انرژی و اگررژی مورد بررسی قرار دادند. نتایج حاکی از آن بود که با انتخاب بازده اگررژی خورشیدی به عنوان تابع هدف، کلکتور سهمی خطی بیشترین مقدار بازده خورشیدی و کمترین مقدار مورد نیاز مساحت کلکتور را دارا می‌باشد. ناظری و همکاران [2]، عملکرد سیستم ترکیبی رانکین بخار و آلی با محرك گازهای اتلافی را از منظر انرژی، اگررژی و اگررژی - اقتصادی مورد مطالعه و بررسی قرار دادند. نتایج حاکی از آن بود که با استفاده از سیال R124 بالاترین مقدار بازده اگررژی با مقدار  $57/62$  درصد را داراست. همچنین تحلیل پارامتری به منظور تعیین اثر افزایش فشار ورودی توربین بخار و آلی، اختلاف دمای پینچ و دمای کندانسور آلی بر روی پارامترهای خروجی انجام گردید. در نهایت بهینه‌سازی دو هدفه به وسیله الگوریتم ژنتیک انجام شد و نتایج حاکی از آن بود که با سیال R152a می‌توان به بهترین نتیجه دست یافت. همچنین کاردگر [3] در پژوهشی، یک سامانه انرژی یکپارچه خورشیدی - زمین گرمایی را ارائه داده است. این سامانه انرژی از یک محفظه تخیر یک مرحله‌ای زمین گرمایی، سیکل تبرید جذبی تک‌اثره، سیکل پمپ حرارتی برای عملیات خشک کردن، سامانه ذخیره‌ساز انرژی خورشیدی، دو توربین بخار برای تولید توان، تولید سرمایش برای مصارف خانگی و سامانه گرمایشی برای مصارف صنعتی تشکیل شده است. نتایج نشان می‌دهد راندمان انرژی و اگررژی کل این سامانه به ترتیب  $92\%$  و  $57\%$  است. در تحقیقی دیگر رزو و همکاران [4]، عملکرد سیکل ترکیبی رانکین بخار و رانکین آلی را از منظر انرژی و اگررژی مورد بررسی قرار دادند. نتایج حاکی از آن بود که استفاده از سیال عامل دوتایی در سیکل آلی زیرین باعث بهبود عملکرد سیکل می‌شود و حداقل تا  $14/4$  درصد بازده کلی را افزایش می‌دهد. دان وو و همکاران [5]، سیکل ترکیبی رانکین آلی و پمپ حرارتی با محرك کلکتور خورشیدی را به منظور تولید قدرت و برودت، از منظر انرژی و اقتصادی شبیه‌سازی و مطالعه نمودند و با معرفی توابع اقتصادی مربوطه عملکرد این سیکل ترکیبی را بهینه‌سازی کردند. پاتل و همکاران [6]، تحلیل ترموماگنیکی برای سیکل ترکیبی رانکین

نشان داد که سیستم پیشنهادی می‌تواند ظرفیت خنک‌کننده و توان خالص خروجی را با دریافت انرژی از منبع گرمایی درجه پایین فراهم کند. همچنین، اشرف و همکارانش [14]، یک سیستم ادغامی تبرید و قدرت اجکتور دو فلاش را ارائه کردند. علاوه بر این، یک تحلیل پارامتری کامل نشان داد که بازده انرژی و اگررژی را می‌توان با توجه به فشار توربین و فشار اجکتور بهینه کرد. علاوه بر این، نشان داده شده است که با افزایش فشار اجکتور، دمای اوپرатор و نسبت فشار کمپرسور، کارایی انرژی و همکارانش [15]، با مقایسه عملکرد چهار سیستم یکپارچه خورشیدی جدید با کمک آنالیز انرژی و اگررژی پرداختند. این سیستم‌ها از یک واحد یا دو واحد از یک سیستم تبرید با جذب سه‌گانه برای تولید خنک‌کننده از طریق استفاده از آب گرم به دست آمده در خروجی کلکتور خورشیدی استفاده می‌کنند. چرخه‌های قدرت بر اساس چرخه‌های رانکین آلی و کالینا هستند. در آرایش متفاوت، زمانی که یک واحد از سیستم تبرید جذبی با سیکل رانکین آلی مبتنی بر ایزوپتان جایگزین می‌شود، بدون شک خروجی خنک‌کننده کاهش یافته، اما توان خالص سیستم با یک سیکل رانکین آلی می‌باشد. ذوقی و همکارانش [16]، به مطالعه بازیابی گرمای اتلافی از یک چرخه توربین گاز بازیاب، زمانی که توسط یک منبع حرارت ترکیبی متصل از برج انرژی خورشیدی و تبدیل به گاز زیست توده هدایت می‌شود، پرداختند. این سیستم از زیرسیستم‌های برق، سرمایش، گرمایش و تولید هیدروژن تشکیل شده است. اگرچه افزایش تابش عادی مستقیم باعث کاهش جزئی در عملکرد ترمودینامیکی سیستم شده است، اما عملکرد سیستم را از نظر اقتصادی و زیست‌محیطی بهبود بخشیده است. کاؤ و همکارانش [17]، دو سیستم تولید همزمان مختلف برای سرمایش و تولید برق پیشنهاد دادند. یک توربین گاز و یک سیکل تبرید اجکتوری در پیکربندی‌ها استفاده می‌شود که در آن چرخه توربین گاز از بیوگاز به عنوان سوخت مورد نیاز استفاده می‌کند. نتایج نشان داده است که هم بازده انرژی و هم بازده اگررژی سیکل تبرید توربین گاز / اجکتور ترکیبی مرسوم می‌تواند به ترتیب تا ۴۴٪ و ۳۳٪ / ۵۴٪ بهبود یابد. احمدی و

تا ۱۵٪ / ۶۲٪ درصد برای سیستم ترکیبی بود. بلوس و همکاران [11] در تحقیق دیگری در سال ۲۰۱۸ عملکرد سیکل جذبی اجکتوری با محرك کلکتور سهموی خطی و تانک را از منظر انرژی و اگررژی با سیکل جذبی ساده مورد مقایسه قرار دادند. نتایج حاکی از بهبود ۶۰٪ / ۹٪ درصدی بازده سیکل اجکتوری در دمای اوپرатор ۱۲٪ درجه سلسیوس و دمای کندانسور ۳۰ درجه سلسیوس بود. در تحقیق حاضر عملکرد یک سیستم جدید آبشاری مشکل از سیکل رانکین بخار، سیکل تبرید جذبی و سیکل تراکمی - اجکتوری با محرك انرژی خورشیدی معرفی و از منظر انرژی و اگررژی - اقتصادی مورد مطالعه و بررسی قرار می‌گیرد. عملکرد سیستم به این شکل بوده که از انرژی خورشیدی به عنوان محرك سیکل بخار، از دفع گرمای در سیکل بخار به عنوان محرك سیکل جذبی استفاده شده و اوپرатор جذبی به عنوان کندانسور سیکل تراکمی عمل می‌کند. آر. جی. سوزا و همکاران [12]، یک سیستم تولید همزمان را برای دستیابی به نیازهای جزئی الکتریکی و حرارتی یک ساختمان در دانشگاه دولتی پیشنهاد کردند. این سیستم پیشنهادی شامل یک موتور احتراق داخلی (ICE)، یک چرخه رانکین آلی (ORC) و تجهیزاتی است که به عنوان سینک عمل می‌کنند. نتایج نشان داد که حالت ترکیبی می‌تواند از ۹٪ / ۱۸٪ تا ۵٪ / ۳۷٪ از تقاضای برق را برآورده کند، در حالی که حالت عادی می‌تواند از ۴٪ / ۱۲٪ تا ۵٪ / ۲۴٪ پاسخ دهد. تجزیه و تحلیل ترمودینامیکی گزارش کرد که این ترکیب باعث افزایش ۶٪ / ۳۳٪ درصدی در تولید توان مکانیکی، افزایش بازده اگررژی تقریباً از ۵٪ / ۴٪ درصد به ۵٪ / ۳۴٪ درصد و همچنین بازده اگررژی حدود ۴۰ درصد و کاهش کل اگررژی تخریب شده را می‌دهد. یازی وانگ و همکارانش [13]، برای دستیابی به تأمین برق و سرمایش برای کاربران، یک سیستم خنک‌کننده و قدرت ترکیبی جدید برای استفاده از منابع گرمایی با درجه پایین، مانند گرمای زباله صنعتی، انرژی خورشیدی و انرژی زمین گرمایی پیشنهاد دادند. برای افزایش کارایی سیستم ترکیبی قدرت و خنک‌کننده سنتی، یک سیستم جدید مبتنی بر چرخه توان جذبی (APC) و سیستم تبرید اجکتوری به کمک تقویت‌کننده طراحی شده است. نتایج نشان داد که سیستم پیشنهادی به کمک کمپرسور تقویت‌کننده، بازده انرژی بالاتری نسبت به چرخه سنتی APC دارد. نتایج مدل‌سازی

یک سیستم بهره‌برداری مرحله‌ای از حرارت هدر رفته یک چرخه انرژی گوگرد - کربن دی اکسید با گرمایش جزئی و یک سیکل تبرید اجکتوری حرارتی را ترکیب کرد و برای بهبود عملکرد توربین گاز پیشنهاد داد. گرمای خروجی توربین گاز توسط دو بخاری گازی در چرخه قدرت و یک بخاری زباله استفاده شد. نتایج نشان داد که سیستم پیشنهادی می‌تواند بازده حرارتی و اگزرژی را به میزان  $28/23$  درصد و  $2/65$  درصد در مقایسه با اگزرژی عادی بهبود بخشد. همچنین غفوریان و همکارش [23] به منظور بهینه‌سازی انرژی و بهبود هزینه‌های آن، یک روش جدید برای بهبود سیستم‌های تولید همزمان قدرت و گرما و سرما با محركه متور گازسوز ارائه دادند. در تحقیقی دیگر قلیزاده و همکاران [24]، یک مطالعه طراحی یک سیستم چند نسلی پیشرفتی را ارائه کردند که از پتانسیل یک توربین گازی همراه با فناوری دو تبخیرکننده دو حلقه اجکتوری، نمکزدایی اسمز معکوس، الکترولیز غشای تبادل پروتون و یک چرخه رانکین آلی تشکیل شده است. از طریق بهینه‌سازی دقیق، این سیستم به نتایج قابل توجهی از جمله تولید برق، ظرفیت سرمایش، ظرفیت گرمایش، تولید آب نمکزدا و بازده هیدروژن دست یافت که با  $957/3$  کیلووات،  $231/4$  کیلووات،  $272/3$  کیلووات،  $7/336$  کیلوگرم بر ثانیه، و  $0/99$  کیلوگرم در ساعت اندازه‌گیری شده است. از طریق ارزیابی دقیق، ایزوپوتون به عنوان انتخاب بهینه ظاهر شد و توان خروجی را به طور قابل توجهی در مقایسه با جایگزین‌ها بهبود بخشید. در تحقیق دیگری جواهرده و همکارانش [25]، به شبیه‌سازی سیکل رانکین بخار و آلی از منظر اگزرژی اقتصادی با محركه گازهای احتراقی پرداختند. نتایج حاکی از آن بود که در حالت پایه، بازده انرژی و اگزرژی سیکل ترکیبی به ترتیب  $0/2782$  و  $0/5279$  بوده و مقدار کار خروجی و بازگشت‌نایابی نیز به ترتیب  $71401$  کیلووات و  $43616$  کیلووات شده است.

### تحلیل ترمودینامیکی

تحلیل ترمودینامیکی از معادلات توازن جرم، آنتروپی، انرژی و اگزرژی تشکیل شده است که در ادامه به آن‌ها اشاره می‌شود.

همکاران [18]، یک سیستم با ادغام چرخه توربین گاز، یک مولد بخار بازیابی حرارت با فشار دوگانه، یک واحد نمکزدایی چند اثره، یک سیکل رانکین آلی تبرید با یک اجکتور، و یک الکترولیز غشایی مبادله پروتون پیکربندی کردند. نتایج بهینه‌سازی‌های تک هدفه نشان داد که حداقل بازده اگزرژی ممکن و نرخ تولید آب شیرین به ترتیب  $72\%$  و  $1354$  متر مکعب در روز است و کمترین نرخ هزینه کل  $611$  دلار در ساعت است. مطالعه پارامتریک مقایسه‌ای نشان داد که نتیجه بهینه‌سازی سه‌هدفه از نظر اهداف و قابلیت اطمینان مطلوب است. مصطفی و همکارانش [19]، یک سیستم تبرید قدرت ترکیبی مبتنی بر زمین گرمایی و دوگانه اجکتور با استفاده از مخلوط زئوتربوپیک به عنوان سیال کاری با ترکیب قابل تنظیم ارائه، بررسی و از دیدگاه اگزرژی - اقتصادی ارائه کردند. نتایج نشان داد که ترکیب مخلوط و فشار خروجی توربین بیشترین تأثیر را بر تخریب کل اگزرژی و توان خالص خروجی دارد، در حالی که دمای خروجی اوپراتور بیشترین تأثیر را بر ظرفیت تبرید دارد. نتایج بهینه‌سازی نشان داد که برای سیستم پیشنهادی، بازده انرژی و راندمان اگزرژی به ترتیب  $6\%$  و  $11\%$  بهبود یافته است. دادپور و همکارانش [20]، سیکل تبرید اجکتور با معادلات انرژی، اگزرژی و اجکتور با معادله گاز دینامیکی مدل‌سازی کردند. پس از مدل‌سازی، پارامترهای مؤثر یعنی دمای خروجی کندانسور، دما و فشار ورودی به نازل ثانویه و دمای ورودی به نازل اولیه با استفاده از روش بهینه‌سازی چند هدفه بهینه شده است. مشخص شد که چرخه تبرید اجکتور انرژی الکتریکی و هزینه سرمایه‌گذاری به ترتیب  $0/743$  کیلووات و  $0/0028$  دلار در ساعت کاهش یافته و همچنین ضریب عملکرد را  $0/917$  در مقایسه با سیستم‌های تبرید معمولی در خودرو افزایش یافته است. محمد و همکارانش [21]، یک ادغام مؤثر بین چرخه نمکزدایی، رطوبت‌زدایی با آب و چرخه اجکتوری حلقه‌باز را برای تولید همزمان آب شیرین و انرژی خنک‌کننده برای خدمت به تعداد معینی از ساکنان پیشنهاد داد. علاوه بر این، یک تحلیل حساس برای تخمین تغییرات در عملکرد سیستم به دلیل عدم قطعیت شرایط عملیاتی انجام شد. این عملکرد بسیار بهتر از آثار منتشر شده قبلی بود و می‌تواند با افزایش حداقل دمای آب دریا بیشتر بهبود یابد. یمنو جیانگ و همکارانش [22]

شناسایی دلایل و نقاط اتلاف انرژی و مشخص کردن میزان ناکارایی سیستم‌ها بسیار مفید و کارآمد می‌باشد [28].

### تخرب اگزرزی

عمولاً محاسبه تخریب اگزرزی هدف اصلی در تحلیل اگزرزی یک سیستم می‌باشد، زیرا این عامل باعث اتلاف منابع در سیستم‌های گرمایی - شیمیایی بوده و در تحلیل اگزرزی عمولاً روش‌ها و متدهایی برای کاهش این اتلافات بررسی و ارائه می‌گردد. موازنۀ اگزرزی می‌تواند برای تعیین نوع و بزرگی اتلاف منبع انرژی در یک جزء به کار رود و همچنین راهکارهایی برای استفاده مؤثرتر از منابع سوخت معرفی کند. برای یک سیستم در حالت یکنواخت موازنۀ اگزرزی به صورت زیر نوشته می‌شود [28]:

$$\dot{E}x_i + \dot{E}x_Q = \dot{E}x_e + \dot{E}x_w + \dot{E}x_D \quad (3)$$

به طوری که  $\dot{E}x_e$  و  $\dot{E}x_i$  به ترتیب نرخ جریان اگزرزی خروجی از سیستم و ورودی به سیستم،  $\dot{E}x_Q$  نرخ اگزرزی متناظر با انتقال حرارت برای گرمای ورودی،  $\dot{E}x_w$  نرخ اگزرزی متناظر با انتقال کار برای کار انجام شده توسط سیستم و  $\dot{E}x_D$  برابر نرخ تخریب اگزرزی می‌باشد. برای هر کدام از اجزای معادله روابط زیر را خواهیم داشت [29]:

$$\dot{E}x_i = \dot{m}_i ex_i \quad (4)$$

$$\dot{E}x_Q = (1 - \frac{T_0}{T_i}) \dot{Q}_i \quad (5)$$

$$\dot{E}x_e = \dot{m}_e ex_e \quad (6)$$

$$\dot{E}x_i = \dot{W} \quad (7)$$

$$\dot{E}x_D = T_0 \dot{S}_{gen} \quad (8)$$

$$ex = ex_{ph} + ex_{ch} \quad (9)$$

که  $T_0$  دمای حالت مرده و  $\dot{S}_{gen}$  تولید آنتروپی در اثر بازگشت‌ناپذیری‌ها در سیستم می‌باشد. همچنین  $ex_{ph}$  و  $ex_{ch}$  به ترتیب، اگزرزی فیزیکی و شیمیایی فرایند هستند که به صورت زیر تعریف می‌گردد، لازم به ذکر است که اگزرزی شیمیایی برای سوخت‌ها به صورت زیر به کار می‌رود [30]:

$$ex_{ph} = (h - h_0) - T_0(s - s_0) \quad (10)$$

### معادله توازن جرم

اصل پایستگی جرم یک اصل بنیادی در هر تحلیل ترمودینامیکی می‌باشد، این اصل برای حجم کنترلی که در شکل مشاهده شده، به صورت معادله زیر است [26,27]:

$$\sum_k \dot{m}_i - \sum_k \dot{m}_e = \frac{dm_{cv}}{dt} \quad (1)$$

$\dot{m}$  دبی جرمی، زیروندهای  $i$  و  $e$  به ترتیب معرف ورود و خروج به حجم کنترل و زیرونده  $cv$  نشان‌دهنده حجم کنترل می‌باشند.

### معادله توازن انرژی

معادله توازن انرژی یک حجم کنترل، با تمام انرژی‌های ورودی و خروجی آن مرتبط می‌باشد. قانون اول ترمودینامیک که قانون پایستگی انرژی نیز نام دارد، به شکل زیر تعریف می‌شود [27,28]:

$$\dot{Q} - \dot{W} + \sum_i \dot{m}_i \left( h_i + \frac{v_i^2}{2} + gz_i \right) - \sum_e \dot{m}_e \left( h_e + \frac{v_e^2}{2} + gz_e \right) = \frac{dE_{cv}}{dt} \quad (2)$$

### تحلیل اگزرزی

تحلیل اگزرزی یک روش تحلیلی بر مبنای قانون دوم ترمودینامیک می‌باشد که به صورت ویژه میزان کارایی را در سیستم ارزیابی می‌کند، معیارهایی برای دستیابی به کارکرد ایدئال سیستم معرفی کرده و به طور روشن‌تری دلایل و نقاط اتلاف ترمودینامیکی را معین می‌سازد. در نتیجه، تحلیل اگزرزی می‌تواند در بهبود عملکرد و بهینه‌سازی سیستم‌های انرژی مورد استفاده قرار گیرد. بازده انرژی معمولاً گمراه کننده است زیرا معیاری برای عملکرد سیستم جهت رسیدن به حالت ایدئال را مشخص نمی‌کند. علاوه بر آن، تلفات ترمودینامیکی که در یک سیستم رخ می‌دهد، معمولاً با تحلیل انرژی نمی‌تواند به طور دقیق شناسایی و ارزیابی گردد. تحلیل اگزرزی امکان برطرف کردن بسیاری از نواقص و کمبودهای روش تحلیل انرژی را فراهم می‌سازد. تحلیل اگزرزی بر پایه قانون دوم ترمودینامیک استوار است و در

$$\text{دلار بر ساعت نمایش داده می شود و از رابطه زیر به دست می آید:} \\ \dot{C}_i = c_i \dot{E}_i \quad (13)$$

که ( $KW$ )  $\dot{E}_i$  نرخ اگزرزی جریان و ( $$/Kw.hr$ )  $c_i$  هزینه مربوط به ازای واحد اگزرزی می باشد. همچنین به جریان اگزرزی متناظر با انتقال حرارت و کار نیز یک هزینه نسبت داده می شود [28]:

$$\dot{C}_q = c_q \dot{E}_q = c_q \dot{Q}_k \left(1 - \frac{T_0}{T_k}\right) \quad (14)$$

$$\dot{C}_w = c_w \dot{W} \quad (15)$$

### موازنۀ هزینه

فرایند هزینه‌گذاری اگزرزی شامل معادلات موازنۀ هزینه‌ای می باشد که معمولاً برای هر یک از اجزای سیستم به صورت جداگانه نوشته می شود. یک موازنۀ هزینه که برای جزء  $k$  ام سیستم به کار می رود بیان می کند که هزینه کلی جریان‌های خروجی برابر است با هزینه کلی جریان‌های ورودی به اضافه هزینه‌های مرتبط با سرمایه‌گذاری و هزینه عملکرد و نگهداری همان جزء که به صورت زیر نوشته می شود [28]:

$$\sum (c_e \dot{E}_e)_k + c_{w,k} \dot{W}_k = c_{q,k} \dot{E}_{q,k} + \sum (c_i \dot{E}_i)_k + \dot{Z}_k \quad (16)$$

در رابطه فوق  $\dot{Z}_k$  نرخ هزینه برای جزء  $k$  می باشد و از رابطه زیر به دست می آید:

$$\dot{Z}_k = \frac{Z_k \text{CRF}}{N} \quad (17)$$

### بررسی عملکرد سیستم ترکیبی

طرح شماتیکی سیستم ترکیبی در شکل (1) و طرح شماتیکی دما - نرخ انتقال حرارت اوپرатор در سیکل بخار به منظور به دست آوردن دماهای قسمت‌های مختلف مبدل حرارتی در شکل (2) قابل مشاهده است. همان طور که در شکل مشاهده می شود روند محرك خورشیدی در نقطه ۱ به عنوان محرك سیستم ترکیبی عمل می کند و بعد از کاهش دما در اوپرатор آلتی به منظور افزایش دمای مجدد به کلکتور سهموی خطی باز می گردد. سیکل رانکین بخار نیز، سیکل چهار جزئی ساده بوده که در توربین تولید قدرت و در کندانسور دفع حرارت می کند. دفع گرمای کندانسور بخار منبع گرمایی مناسبی برای سیکل‌های ترمودینامیکی محرك دما پایین می باشد و در این تحقیق با افزایش دمای کندانسور بخار تا ۲۲ درجه سلسیوس از آن به عنوان محرك سیکل جذبی تک مرحله‌ای لیتیم بروماید - آب استفاده می گردد. همچنین همان طور که در شکل ملاحظه می شود از مبدل آبشاری به عنوان رابطه

$$ex_{\text{mix}}^{\text{ch}} = (\sum_{i=1}^n x_i ex_i^{\text{ch}} + RT_0 \sum_{i=1}^n x_i \ln x_i) \quad (11)$$

### بازده اگزرزی بازده قانون دوم

برای دقت نظر بیشتر نسبت به چگونگی توزیع اگزرزی در یک فرایند، تعریف نسبت‌های اگزرزی مفید به نظر می آید. بازده اگزرزی پارامتری برای ارزیابی نحوه کارکرد ترمودینامیکی است و سنجش حقیقی کارایی یک سیستم انرژی را از نقطه نظر ترمودینامیکی فراهم می سازد. در تعریف بازده اگزرزی لازم است تا هر دو مفهوم محصول و سوخت اگزرزی مرتبط به سیستم شناسایی گردد. باید در نظر داشت که برای برخی سیستم‌های ترمودینامیکی تعریف بازده اگزرزی میسر نمی باشد یا حداقل هیچ مفهومی ندارد، زیرا سوخت یا محصول به وضوح شناخته شده نیستند. محصول اگزرزی، جریان اگزرزی مفید حاصل از یک سیستم یا دستگاه است که مربوط به محصول ترمودینامیکی دستگاه می باشد. در نهایت با تعریف سوخت و محصول دستگاه به وسیله مفهوم اگزرزی بازده اگزرزی سیستم به شکل کلی زیر تعریف می شود [28]:

$$\eta_{\text{ex}} = \frac{\dot{E}_{\text{xp}}}{\dot{E}_{\text{xf}}} = 1 - \frac{\dot{E}_{\text{xd}}}{\dot{E}_{\text{xf}}} \quad (12)$$

در رابطه فوق  $\dot{E}_{\text{xf}}$  و  $\dot{E}_{\text{xp}}$  به ترتیب مربوط به جریان اگزرزی محصول و سوخت سیستم می باشند.

### تحلیل اگزرزی - اقتصادی

تحلیل اگزرزی اطلاعات مورد نیاز به منظور طراحی و بررسی عملکرد یک سیستم از دیدگاه ترمودینامیکی را در اختیار می گذارد ولی با این حال ما نیازمند هستیم که بدانیم تخریب و اتلاف اگزرزی در اجزای سیستم چه مقدار هزینه در پی خواهد داشت. یافتن بیش نسبت به این هزینه در بهینه‌سازی یک سیستم به لحاظ کارایی اقتصادی بسیار مفید خواهد بود. در تحلیل اگزرزی - اقتصادی از نرخ هزینه‌های مرتبط با هر جریان ماده یا اگزرزی برای محاسبه متغیرهای اگزرزی - اقتصادی اجزای سیستم استفاده می گردد. این متغیرها با هزینه‌های سرمایه‌گذاری و هزینه‌های مرتبط با ناکارآمدی‌های ترمودینامیکی سروکار دارند.

### هزینه‌گذاری اگزرزی

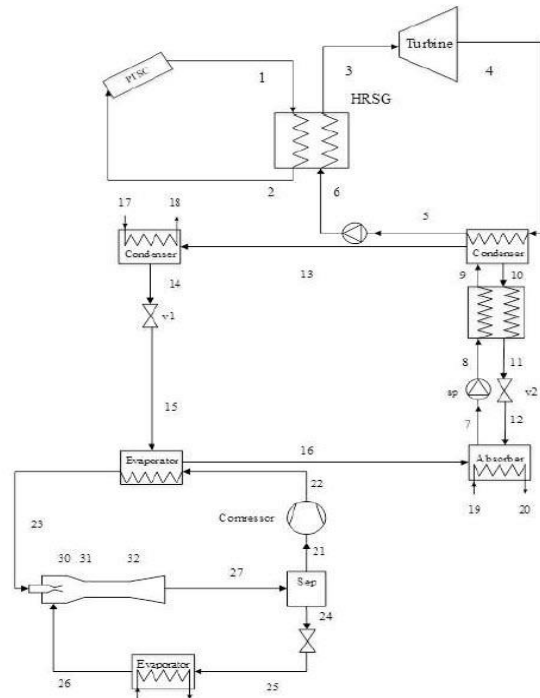
در فرایند هزینه‌گذاری اگزرزی به هر جریان یک هزینه نسبت داده می شود، نرخ هزینه مربوط به آامین جریان ماده به صورت  $\dot{C}$

- ۶) سیال مبرد در خروجی کندانسور جذبی مایع اشباع و در خروجی اوپرатор جذبی، بخار اشباع می‌باشد.
- ۷) سیال محلول خروجی ژنراتور در نقطه ۲۱ و خروجی ابزربیر در نقطه ۱۸، مایع اشباع می‌باشد.
- ۸) سیال آلی سمت سیکل تراکمی اجکتوری خروجی از اوپرатор جذبی / کندانسور تراکمی (مبدل حرارتی آبشاری) مایع اشباع و سیال آلی خروجی اوپرатор سیکل تراکمی اجکتوری، بخار اشباع می‌باشد.
- ۹) در سیکل تراکمی اجکتوری، سیال بخار خروجی جداساز بخار اشباع و مایع خروجی، مایع اشباع می‌باشد.

جدول ۱ موارد اولیه ورودی سیکل ترکیبی

مقدار	توضیح	نماد
۲۵	دمای محیط	$t_{\circ}(\text{C})$
۱۰۱/۳	فشار محیط	$P_{\text{kpa}}$
۳۹۰	دمای روغن محرك خورشیدی	$t_1(\text{C})$
۱	دبی روغن محرك خورشیدی	$m_{\text{oil}}$
۲۷۰	دمای اشباع مولد بخار	$t_{\text{HRSG}}(\text{C})$
۱۰۰	درجه فوق گرمایش مولد بخار	$\Delta t_{\text{pinch, HRSG}}(\text{C})$
۹۲	دمای کندانسور کندانسور بخار	$t_5(\text{C})$
۰/۸	بازده آیزو نترو پیپک پمپ بخار	$\eta_{\text{st,p}}$
۰/۸۵	بازده آیزو نترو پیپک توربین بخار	$\eta_{\text{st,tur}}$
۳۰	اختلاف دمای پینچ مولد بخار	$\Delta t_{\text{pinch, HRSG}}(\text{C})$
۸۵	دمای ژنراتور جذبی	$t_{11}(\text{C})$
۱۰	دمای اوپرатор جذبی	$t_{12}(\text{C})$
۳۵	دمای کندانسور جذبی	$t_{14}(\text{C})$
۳۵	دمای ابزربیر جذبی	$t_{\text{v}}(\text{C})$
۰/۹۵	بازده پمپ محلول جذبی	$\eta_p$
۰/۸	کارایی مبدل حرارتی محلول جذبی	$\epsilon_{hx}$
$t_{8-12}$	دمای آب خنک ورودی کندانسور و ابزربیر	$t_{17}(\text{C})$
		$t_{19}(\text{C})$
$t_{7-3}$	دمای آب خنک خروجی کندانسور و ابزربیر	$t_{18}(\text{C})$
		$t_{2}(\text{C})$
۴۰	دمای کندانسور تراکمی	$t_{33}(\text{C})$
-۱۰	دمای اوپرатор تراکمی	$t_{26}(\text{C})$
-۳	دمای محلول الكل در آب ورودی به اوپرатор تراکمی	$t_{28}(\text{C})$
-۸	دمای محلول الكل در آب خروجی از اوپرатор تراکمی	$t_{29}(\text{C})$

بین سیکل جذبی و تراکمی اجکتوری استفاده شده و برودت مطلوب خروجی در اوپرатор سیکل تراکمی اجکتوری با سیال به عنوان مبرد تولید می‌گردد. در سیکل تراکمی اجکتوری نیز به جای شیر فشارشکن متداول سیکل تراکمی، از اجکتور به منظور کاهش فشار سیال استفاده می‌گردد. سیال دو فازی خروجی از اجکتور نیز به وسیله جداساز به مایع و بخار اشباع تبدیل می‌شود. بخار اشباع بعد از عبور از کمپرسور و افزایش فشار به مبدل حرارتی آبشاری رفته و مایع اشباع بعد از عبور از شیر فشارشکن و کاهش فشار به اوپرатор رفته و تولید برودت می‌کند. قابل ذکر است که محلول الكل در آب در نظر گرفته می‌شود.



شکل ۱ طرح شماتیکی سیستم ترکیبی

به منظور شبیه‌سازی سیستم ترکیبی فرضیات ساده زیر در نظر گرفته می‌شود که در جدول (۱) و (۲) آمده است [۲۸-۳۲]:

- (۱) سیستم در حالت پایا کار می‌کند.
- (۲) از تغییرات انرژی جنبشی و پتانسیل در اجزای مختلف صرف نظر می‌شود.
- (۳) سیال عامل خروجی مولد بخار فوق گرم بوده و درجه فوق گرمایش (اختلاف بین دمای اشباع اوپرатор و دمای خروجی سیال از مولد بخار) همواره ثابت است.
- (۴) در سیکل بخار سیال عامل خروجی کندانسور و ورودی پمپ مایع اشباع می‌باشد.
- (۵) در سیکل جذبی سیال خروجی ابزربیر و ژنراتور در حالت تعادل و در دمای متناظر اجزای ذکر شده است.

جدول ۴ نتایج صحت‌سنجی چیلر جذبی لیتیم بروماید - آب

فلوریدس و همکاران [۳۴]	تحقیق حاضر	نماد
۰/۲۹	۰/۲۸۳	$W_{sp}$
۱۳/۴۲	۱۳/۶۴	$Q_{abs}(kW)$
۱۴/۲	۱۳/۹۸	$Q_{gen}(kW)$
۱۰/۷۸	۱۰/۶۳	$Q_{con}(kW)$
۰/۷۰۴	۰/۷۱۱	$COP$

جدول ۵ موارد ورودی به منظور صحت‌سنجی سیکل پمپ حرارتی

اجکتوری

مقدار	معرف	نماد
۴۵	دمای کندانسور تراکمی	$t_{۲۲}(^{\circ}\text{C})$
-۱۵	دمای اوپراتور تراکمی	$t_{۲۶}(^{\circ}\text{C})$
۵/۵۱	حدس ابتدایی نسبت جرمی	$\mu_{initial}$
۱۵	افت فشار نازل جریان مکش	$\Delta p(kPa)$
۵/۸۳	بازده نازل جریان محرك	$\eta_{mn}$
۵/۸۳	بازده نازل جریان مکش	$\eta_{sn}$
۵/۲۳	بازده مخلوط‌کننده	$\eta_{ms}$
۵/۸۳	بازده دیفیوزر	$\eta_d$

جدول ۶ نتایج صحت‌سنجی سیکل پمپ حرارتی اجکتوری

لی و همکاران	تحقیق حاضر	نماد
۳/۶۶	۳/۷۱	$COP_{EVCRS}$

## نتایج

### نتایج حالت ورودی پایه

مقادیر خروجی مربوط به نرخ انرژی و اگزرزی‌های اجزای مختلف سیکل و همچنین بازده اگزرزی اجزای مختلف سیکل در جدول (۷) آمده است. همان طور که مشاهده می‌شود بیشترین مقدار تخریب اگزرزی در کلکتور خورشیدی و اوپراتور بخار رخ می‌دهد. همچنین بالاترین بازده اگزرزی مربوط به اوپراتور جذبی / کندانسور تراکمی و کمترین مقدار بازده اگزرزی مربوط به ابزربر جذبی و کلکتور خورشیدی است. همچنین در حالت ورودی پایه کار کلی  $33/21$  کیلووات، بازگشت‌ناپذیری کلی  $333/8$  کیلووات و بازده اگزرزی کلی  $12/53$  درصد می‌باشد. در انتها جدول (۸) نشان دهنده نتایج اگزرزی - اقتصادی برای سیکل ترکیبی است. از جدول پیداست که کلکتور خورشیدی و توربین بخار باید بیشتر از سایر اجزا از منظر اگزرزی - اقتصادی مورد

جدول ۲ مقادیر ابتدایی ورودی برای شبیه‌سازی اجکتور [۳۰]

نماد	توضیح	مقدار
$\mu_{initial}$	حدس ابتدایی نسبت جرمی	۰/۰۱
$\Delta p(kPa)$	افت فشار نازل جریان مکش	۱۰
$\eta_{mn}$	بازده نازل جریان محرك	۰/۸۵
$\eta_{sn}$	بازده نازل جریان مکش	۰/۸۵
$\eta_{ms}$	بازده مخلوط‌کننده	۰/۹۵
$\eta_d$	بازده دیفیوزر	۰/۸۵

## بحث و بررسی

همچنین روابط مربوط به تحلیل اگزرزی - اقتصادی در اجزای مختلف سیستم ترکیبی به وسیله نرم‌افزار EES شبیه‌سازی می‌شود. این نرم‌افزار دارای یک زیرمجموعه از خواص سیالات مختلف است که با توجه به استفاده از سیالات متفاوت در قسمت‌های مختلف، برای شبیه‌سازی سیستم ترکیبی سودمند خواهد بود. در این قسمت ابتدا به منظور صحت‌سنجی نتایج به دست آمده، مقادیر خروجی مربوط به چیلر جذبی تک مرحله‌ای لیتیم بروماید - آب با نتایج مرجع [۳۴] با موارد ورودی کاملاً يکسان مطابق شکل (۳)، در جدول (۴) مربوط به سیکل تراکمی اجکتوری با نتایج مرجع [۳۱] با موارد ورودی کاملاً يکسان مطابق جدول (۵) در جدول (۶) مقایسه شده است. همان‌طور که ملاحظه می‌شود تطابق خوبی بین نتایج به دست آمده و نتایج مرجع مذکور وجود دارد.

جدول ۳ موارد ورودی به منظور صحت‌سنجی چیلر جذبی

لیتیم بروماید - آب

نماد	معرف	مقدار
$Q_{eva}(kW)$	ظرفیت اوپراتور	۱۰
$t_{۲۶}(^{\circ}\text{C})$	دمای اوپراتور	۶
$t_{۲۱}(^{\circ}\text{C})$	دمای محلول خروجی ژنراتور	۹۰
$x_{poor}$	کسر جرمی محلول رقیق	۵۵
$x_{rich}$	کسر جرمی محلول غلیظ	۶۰
$t_{۲.({}^{\circ}\text{C})}$	دمای محلول خروجی مبدل بازیاب	۶۵
$t_{۲۴}(^{\circ}\text{C})$	دمای بخار خروجی ژنراتور	۸۵

آن می شود) و از سوی دیگر کاهش اختلاف دما در مبدل حرارتی (که منجر به کاهش برگشت ناپذیری در مبدل حرارتی می گردد) محقق می شود. همچنین مقدار هزینه واحد انرژی الکتریکی تولید شده به وسیله توربین در سیکل رانکین بخار  $31/43$  دلار بر گیگاژول می باشد. در انتها قابل ذکر است که مقدار کلی فاکتور اگررژی - اقتصادی برای سیکل ترکیبی  $43/52$  درصد می باشد. این مقدار نشان دهنده این است که توازن نسبتاً مناسبی بین نرخ هزینه تحریب اگررژی و نرخ هزینه ابتدایی سیکل ترکیبی وجود دارد.

توجه قرار بگیرند چون تقریباً بیشترین مقدار متعلق به این اجزا می باشد. همچنین همان طور از جدول پیداست کندانسور جذبی کمترین مقدار فاکتور اگررژی - اقتصادی را دارد. مقدار به دست آمده برای جزء ذکر شده به این معنی است که قیمت تحریب اگررژی بر قیمت ابتدایی غالب بوده که باعث کاهش فاکتور اگررژی - اقتصادی می شود. در مورد چنین اجزایی در سیکل افزایش قیمت ابتدایی به منظور کاهش مقدار تحریب اگررژی توصیه می شود. این مورد در مبدل های حرارتی به وسیله افزایش مساحت مبدل حرارتی (که منجر به افزایش قیمت ابتدایی

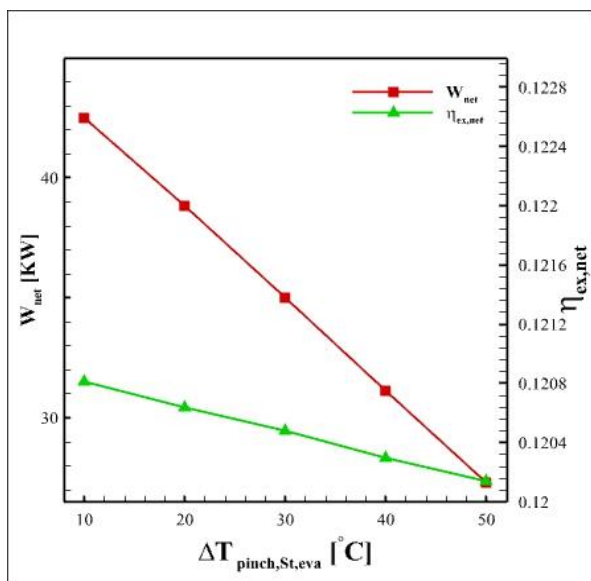
جدول ۷ مقادیر خروجی مربوط به نرخ انرژی و اگررژی های اجزای مختلف سیکل ترکیبی و همچنین بازده اگررژی

$\eta_{ex}$	$Ex_D(kW)$	$Ex_p(kW)$	$Ex_f(kW)$	$Q$ یا $W(kW)$	جزء
۰/۲۵۵	۲۸۰	۱۵۴/۴	۴۳۴/۴	۳۰۹/۱	کلکتور خورشیدی
۰/۸۴۷	۲۳/۵۷	۱۳۰/۹	۱۵۴/۴	۳۰۹/۱	اوپراتور بخار
۰/۸۷۴	۱۱/۱۹	۷۷/۷۲	۸۸/۹۱	۷۷/۷۲	توربین بخار
۰/۸۳۶	۰/۱۳۱	۰/۶۶۹	۰/۸	۰/۸	پمپ بخار
۰/۷۵۹	۱۰/۲۶	۳۲/۴۳	۴۲/۶۹	۲۳۲/۱	کندانسور بخار/ ژنراتور جذبی
۰/۴۳	۴/۰۶۲	۳/۰۷۵	۷/۱۳۷	۲۰۰/۴	کندانسور جذبی
۰/۲۳۷	۱۰/۹۶	۳/۴۱۲	۱۴/۳۷	۲۲۲/۴	ابزربر جذبی
۰/۷۶۴	۰/۶۸۹	۲/۲۴۱	۲/۹۳۱	۲۸/۹۵	مبدل حرارتی محلول
۰/۹۴۹	۰/۵۰۳	۹/۴۲۳	۹/۹۲۶	۱۸۹/۳	اوپراتور جذبی / کندانسور تراکمی
۰/۸۲	۷/۲۲۴	۳۳/۰۱	۴۰/۲۵	۴۰/۲۵	کمپرسور تراکمی
۰/۹۳۶	۳/۸۰۱	۵۶/۲۸	۶۰/۰۷	-	اجکتور
۰/۸۶۸	۲/۵۹۶	۱۷/۱۳	۱۹/۷۲	۱۴۹	اوپراتور تراکمی

جدول ۸ نتایج اگررژی - اقتصادی برای سیکل ترکیبی

$f(\%)$	$Z(\$/h)$	$(\$/h)$	جزء
۳۵/۵۶	۱۰/۱۶	۱۸/۴۲	کلکتور خورشیدی
۵۶/۲۶	۱/۹۹۵	۱/۵۵۱	اوپراتور بخار
۸۵/۱۲	۶/۰۲۹	۱/۰۵۴	توربین بخار
۷۷/۹۲	۰/۰۸۵	۰/۰۲۴	پمپ بخار
۷۶/۶۳	۳/۱۶۶	۰/۹۶۵	کندانسور بخار/ ژنراتور جذبی
۱/۱۱	۰/۰۴۷	۱/۰۵۸	کندانسور جذبی
۱۴/۵۱	۰/۳۷۲	۲/۱۹۶	ابزربر جذبی
۳۵/۲	۰/۱۶	۰/۱۵۳	مبدل حرارتی محلول
۳۸/۷۹	۰/۶۷۷	۰/۱۳۱	اوپراتور جذبی / کندانسور تراکمی
۲۲/۰۹	۰/۳۸	۱/۳۴۲	کمپرسور تراکمی
-	-	۱/۹۹۸	اجکتور
۶۸/۹۵	۳/۲۲۴	۱/۴۵۷	اوپراتور تراکمی

در شکل (۳) تأثیر تغییرات اختلاف دمای اوپراتور بخار بر روی کار کلی و بازده اگزرزی کلی قابل مشاهده است. در این حالت نوشتن معادله پایستگی انرژی در اوپراتور بخار و کلکتور خورشیدی، به ترتیب کاهش دبی بخار و کاهش مساحت مورد نیاز کلکتور را در پی دارد. کاهش دبی بخار با ثابت ماندن اختلاف آنتالپی توربین بخار، عامل مؤثر در کاهش کار خروجی توربین بخار و کار کلی می‌باشد. از سوی دیگر اثر متناقض کاهش کار کلی در صورت کسر و کاهش مساحت کلکتور در مخرج کسر بازده اگزرزی باعث می‌شود که بازده اگزرزی کلی به مقدار اندکی کاهش بیابد.

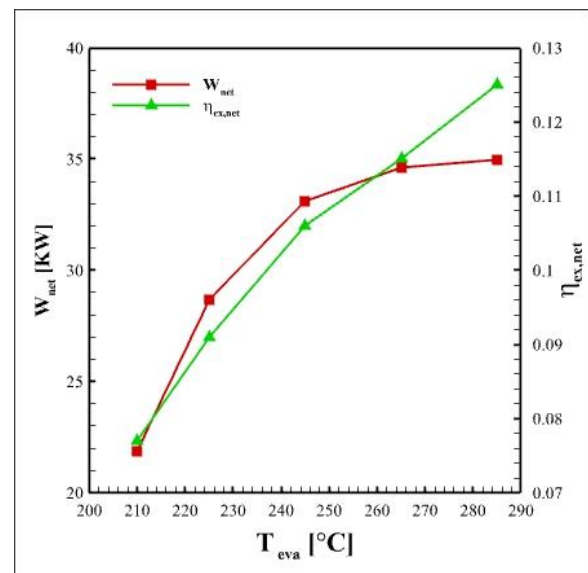


شکل ۳ اثر تغییر اختلاف دمای اوپراتور بخار بر روی کار کلی و بازده اگزرزی کلی

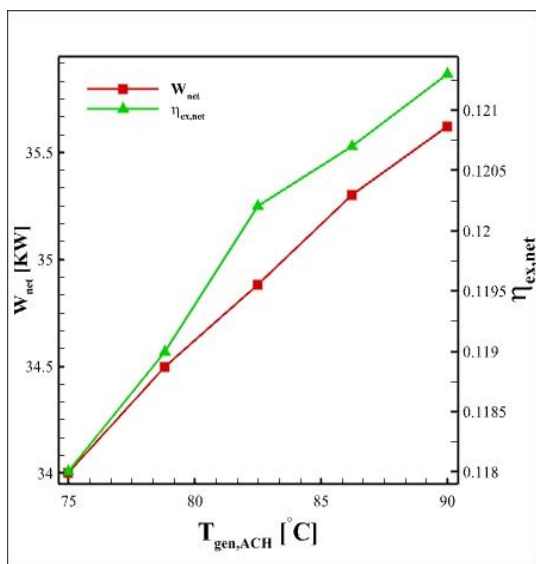
در شکل (۴) اثر تغییر دمای کندانسور بخار بر روی کار کلی و بازده اگزرزی کلی قابل مشاهده است. همان طور که در شکل ملاحظه می‌شود با افزایش دمای کندانسور در محدوده مورد بررسی، کار و بازده اگزرزی کلی کاهش می‌باید. در این مورد با ثابت ماندن دبی سیکل بخار، عامل اصلی کاهش کار خروجی کلی، کاهش اختلاف آنتالپی توربین بخار و کاهش کار خروجی سیکل بخار می‌باشد که کاهش کار کلی و بازده اگزرزی کلی را حاصل می‌دهد. در این حالت افزایش دمای کندانسور بخار با نوشتن رابطه پایستگی انرژی در اوپراتور بخار و کندانسور بخار، به ترتیب کاهش اندک مساحت مورد نیاز کلکتور و افزایش دبی

## نتایج پارامتری

در این قسمت اثر تغییر نسبت فشار کمپرسور، دمای ورودی توربین گازی و دمای اوپراتور بخار را بر روی عملکرد سیستم از منظر انرژی، اگزرزی و اگزرزی - اقتصادی بررسی شده است. توجه کنید که به منظور تحلیل پارامتری تنها پارامتر مورد نظر در بازه در نظر گرفته شده تغییر کرده و بقیه موارد ورودی در سیکل ترکیبی در حالت پایه مطابق جدول (۱) ثابت می‌مانند. شکل (۲) نشان‌دهنده تغییرات دمای اوپراتور بخار در بازه ۲۹۰ تا ۲۹۰ درجه سلسیوس بر روی کار کلی و بازده اگزرزی کلی است. با افزایش دمای اوپراتور بخار در محدوده در نظر گرفته شده کار کلی دارای مقدار بیشینه بوده و بازده اگزرزی افزایش می‌باید. افزایش دمای اوپراتور بخار و با نوشتن رابطه پایستگی انرژی در اوپراتور و کلکتور خورشیدی باعث کاهش دبی سیکل بخار و کاهش مساحت مورد نیاز کلکتور خورشیدی شده است. از سوی دیگر کاهش دبی بخار منجر به کاهش دبی بخش‌های مختلف سیستم ترکیبی و کاهش کار مورد نیاز کمپرسور و دبی آب سرد تولیدی در اوپراتور سیکل تراکمی اجکتوری را نتیجه داده است. در مورد کار کلی، تأثیر متناقض کاهش دبی بخار و افزایش اختلاف آنتالپی توربین باعث ایجاد بیشینه برای کار کلی شده است. اما در مورد بازده اگزرزی، کاهش مساحت مورد نیاز کلکتور در مخرج کسر رابطه بازده، افزایش آن را نتیجه داده است.

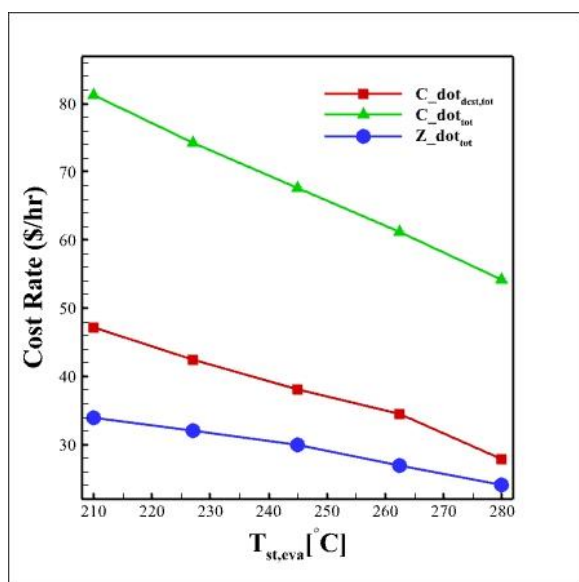


شکل ۲ اثر تغییر دمای اوپراتور بخار بر روی کار کلی و بازده اگزرزی کلی



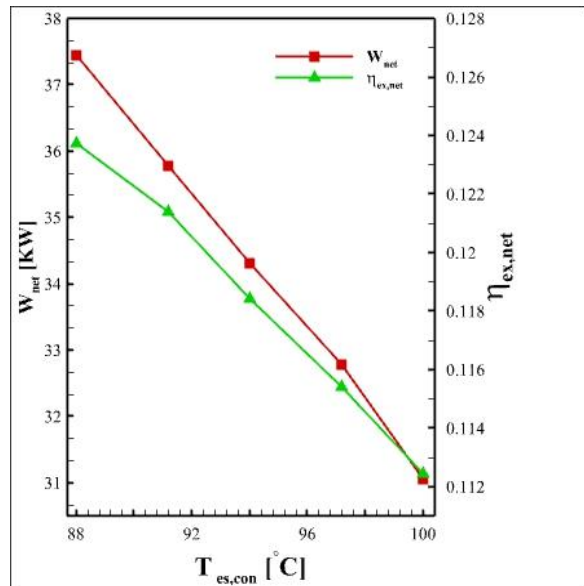
شکل ۵ اثر تغییر دمای ژنراتور جذبی بر روی کار کلی و بازده اگررژی کلی

در شکل (۶) اثر تغییر دمای اوپرатор بخار بر روی نرخهای هزینه قابل مشاهده است. همان طور که در شکل (۶) ملاحظه می شود، افزایش دمای اوپرатор، کاهش تمامی نرخهای هزینه را در پی دارد. در این مورد همان طور که قبل توضیح داده شده، افزایش دمای اوپرатор باعث کاهش مساحت مورد نیاز کلکتور و دبی بخش‌های مختلف سیستم ترکیبی شده که کاهش نرخ هزینه ابتدایی و هزینه تحریب اگررژی تمامی اجزای سیستم ترکیبی را نتیجه می دهد.



شکل ۶ اثر تغییر دمای اوپرатор بخار بر روی نرخهای هزینه

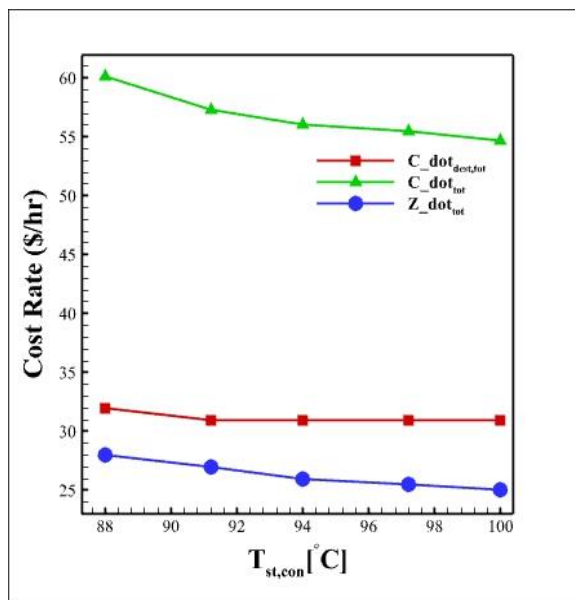
جريان اصلی سیکل جذبی را حاصل می کند. از سوی دیگر افزایش دبی جريان اصلی چيلر جذبی، افزایش دبی سیکل تراکمی اجکتوری و افزایش برودت خروجی را حاصل می دهد. در انتهای در رابطه بازده اگررژی، علی رغم کاهش مساحت مورد نیاز کلکتور و افزایش برودت تولیدی، کاهش کار مورد نیاز کلی باعث کاهش بازده اگررژی می شود.



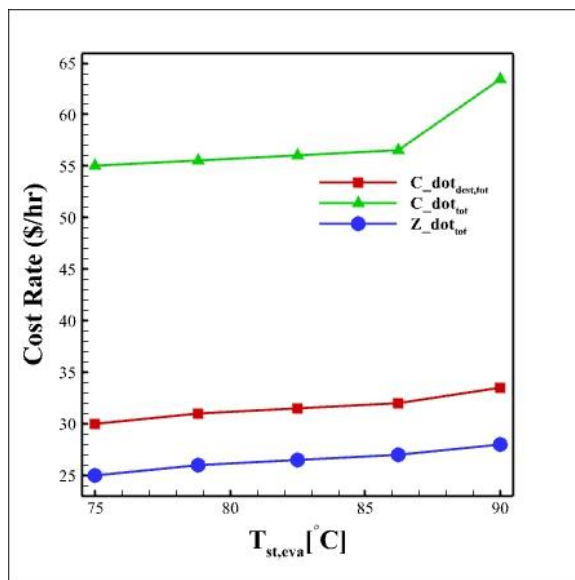
شکل ۴ اثر تغییر دمای کندانسور بخار بر روی کار کلی و بازده اگررژی کلی

در شکل (۵) اثر تغییر دمای ژنراتور سیکل جذبی بر روی کار کلی و بازده اگررژی کلی قابل مشاهده است. همان طور که در شکل ملاحظه می شود افزایش دمای ژنراتور در محدوده مورد نظر باعث افزایش کار خروجی کلی و بازده اگررژی می شود. در این مورد افزایش دمای اوپرатор با نوشتن رابطه پایستگی انرژی در کندانسور بخار / ژنراتور جذبی، کاهش دبی جريان اصلی عبوری از سیکل جذبی را نتیجه می دهد که کاهش دبی جريانات مختلف در سیستم به جز دبی سیکل بخار را حاصل می کند. کاهش دبی عبوری، کاهش کار مورد نیاز پمپ محلول و کمپرسور تراکمی را باعث شده که افزایش کار کلی خروجی را حاصل می کند. این افزایش در رابطه بازده اگررژی نیز اثر غالب داشته که علی رغم کاهش برودت تولیدی، باعث افزایش بازده اگررژی کلی می شود.

و در اکثر اجزای سیکل جذبی و تراکمی کاهش می‌یابد. اما افزایش قابل توجه نرخ هزینه ابتدایی در ژنراتور جذبی باعث افزایش نرخ هزینه ابتدایی کلی می‌گردد. اما در مورد نرخ هزینه تحریب اگزرژی تقریباً عکس حالت فوق اتفاق می‌افتد یعنی نرخ هزینه تحریب اگزرژی تمامی اجزای سیکل جذبی و تراکمی به جز ژنراتور افزایش یافته که افزایش نرخ هزینه تحریب اگزرژی نرخ هزینه کلی را نتیجه می‌دهد.

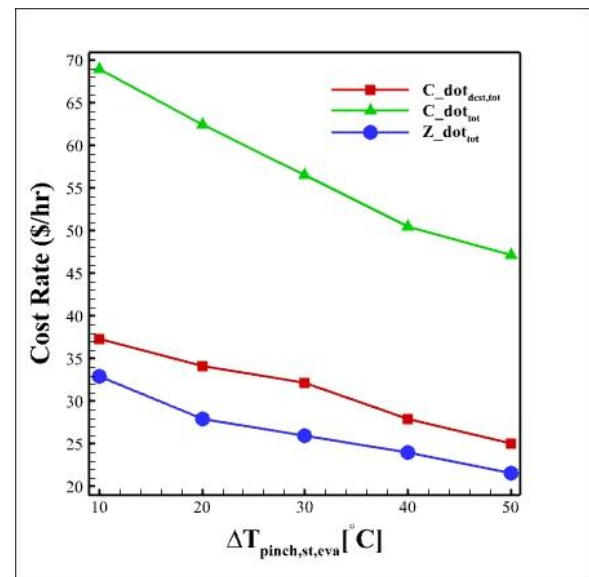


شکل ۸ اثر تغییر دمای کندانسور بخار بر روی نرخ‌های هزینه



شکل ۹ اثر تغییر دمای ژنراتور سیکل جذبی بر روی نرخ‌های هزینه

شکل (۷) نشان‌دهنده تغییرات مؤلفه‌های اقتصادی سیستم بر اساس اختلاف دمای اوپراتور بخار قابل مشاهده است. در این حالت افزایش اختلاف دمای اوپراتور، مانند حالت قبل کاهش تمامی هزینه‌ها را نتیجه می‌دهد. در این مورد افزایش اختلاف دمای کاهش مساحت کلکتور و دبی تمامی جریانات سیکل ترکیبی را باعث می‌شود که کاهش تمامی نرخ‌های هزینه را در پی دارد.



شکل ۷ اثر تغییر اختلاف دمای اوپراتور بخار بر روی نرخ‌های هزینه

در شکل (۸) اثر تغییر دمای کندانسور بخار بر روی نرخ‌های هزینه قابل مشاهده است. در این مورد نیز همان طور که در شکل (۹) ملاحظه می‌شود، کاهش دمای کندانسور، کاهش اندک تمامی نرخ‌های هزینه را باعث می‌شود. در این حالت کاهش نرخ هزینه ژنراتور جذبی و کلکتور خورشیدی عامل مؤثر در کاهش نرخ هزینه ابتدایی بوده و در مورد نرخ هزینه تحریب اگزرژی، افزایش دمای کندانسور تأثیر پیچیده و متناقضی در اجزای مختلف سیکل جذبی و تراکمی گذاشته که در نهایت کاهش اندک آن را باعث می‌شود. نرخ هزینه کلی نیز در اثر کاهش دو ترم مختلف آن، کاهش می‌یابد.

در شکل (۹) اثر تغییر دمای ژنراتور سیکل جذبی بر روی نرخ‌های هزینه قابل مشاهده است. در این حالت همان طور که در شکل ملاحظه می‌شود، افزایش دمای ژنراتور باعث افزایش تمامی نرخ‌های هزینه می‌گردد. در مورد نرخ هزینه ابتدایی، این نرخ هزینه در کلکتور خورشیدی و اجزای سیکل بخار ثابت مانده

بازده اگررژی و نرخ هزینه کلی می‌شود.

۷. افزایش دمای ژنراتور جذبی باعث افزایش کار خروجی، بازده اگررژی و نرخ هزینه کلی می‌شود.

۸. در بین موارد مورد بررسی تغییر دمای و اختلاف دمای پینچ اوپراتور بخار، تأثیر بیشتر و تغییر دمای ژنراتور جذبی تأثیر کمتری بر روی کار خروجی و بازده اگررژی دارد.

### واژه‌نامه

Rankine	رانکین
Cycle	سیکل
PTC	کلکتور سهموی خطی
Energy	انرژی
Exergy	اگررژی
Ejector	اجکتور
Algorithm	الگوریتم
Condenseur	کندانسور
Evaporator	اوپراتور
Pump	پمپ
ICE	موتور احتراق داخلی چرخه رانکین آلی
ORC	چرخه توان جذبی
Kalina	کالینا
Control Volume	حجم کنترل

### تقدیر و تشکر

### نتیجه‌گیری

در این تحقیق سیکل آبشاری تولید همزمان متشکل از سیکل رانکین بخار، سیکل تبرید جذبی و سیکل تراکمی اجکتوری با محرك کلکتور خورشیدی سهموی خطی از منظر انرژی، اگررژی، اقتصادی و اگررژی - اقتصادی شبیه‌سازی گردید. بعد از بررسی نتایج در حالت ورودی پایه، تحلیل پارامتری به منظور بررسی تأثیر موارد مختلف بر روی نتایج انرژی، اگررژی، اقتصادیو اگررژی - اقتصادی انجام گردید. نتایج این تحقیق حاکی از آن بود که:

۱. در حالت ورودی پایه کار کلی  $35/21$  کیلووات، و بازگشت‌ناپذیری کلی  $365/8$  کیلووات و بازده اگررژی کلی  $12/05$  درصد می‌باشد.

۲. بیشترین مقدار تخریب اگررژی در کلکتور خورشیدی و اوپراتور سیکل بخار رخ می‌دهد.

۳. کلکتور خورشیدی و توربین سیکل بخار به عنوان اجزایی معروفی می‌شوند که باید بیشتر از سایر اجزا از منظر اگررژی اقتصادی مورد توجه قرار بگیرند چون تقریباً بیشترین مقدار  $Z_k+CD$  متعلق به این اجزا می‌باشد.

۴. نتایج تحلیل پارامتری حاکی از آن است که افزایش دمای اوپراتور بخار باعث ایجاد بیشینه برای کار کلی، افزایش بازده اگررژی و کاهش تمامی هزینه‌ها شده و در مجموع تأثیر مثبتی بر روی عملکرد سیستم ترکیبی دارد.

۵. افزایش اختلاف دمای پینچ اوپراتور بخار باعث کاهش کار خروجی، بازده اگررژی و نرخ هزینه کلی می‌شود.

۶. افزایش دمای کندانسور بخار نیز باعث کاهش کار خروجی،

### مراجع

- [1] E. Bellos, C. Tzivanidis & K.A. Antonopoulos, "Exergetic, energetic and financial evaluation of a solar driven absorption cooling system with various collector types", *Applied Thermal Engineering*, Vol. 102, No. 7, Pp. 49-59, (2016). <https://doi.org/10.1016/j.enconman.2017.01.041>
- [2] N. Nazari, P. Heidarnejad & S. Porkhial, "Multi-objective optimization of a combined steam-organic Rankine cycle based on exergy and exergoeconomic analysis for waste heat recovery application", *Energy Conversion and Management*, Vol. 127, No. 3, Pp. 66-79, (2016). <https://doi.org/10.1016/j.enconman.2016.09.022>
- [3] A. Kardgar, "Evaluation of an integrated solar-geothermal energy system to provide power, heat and cooling", *Journal of Applied and Computational Sciences in Mechanics*, Vol. 34, No. 4, Pp. 19-34, (2023). <https://doi.org/10.22067/jacsm.2022.76152.1108>

- [4] Y. Zhou, Y.Wu, F.Li & L.Yu , "Performance analysis of zeotropic mixtures for the dual-loop system combined with internal combustion engine", *Energy Conversion and Management*, Vol. 118, No. 40, Pp. 6-14, (2016).  
<https://doi.org/10.1016/j.enconman.2016.04.006>
- [5] D.Wu, L.Aye, T.Ngo & P.Mendis, "Optimization and financial analysis of an organic Rankine cycle cooling system driven by facade integrated solar collectors", *Applied Energy*, Vol. 185, No. 1, Pp. 72-82, (2017).  
<https://doi.org/10.1016/j.apenergy.2016.10.071>
- [6] B.Patel , N.B. Desai & S.Kachhwaha, "Optimization of waste heat based organic Rankine cycle powered cascaded vapor compression-absorption refrigeration system", *Energy Conversion and Management*, Vol. 154, No. 5, Pp. 76-90, (2017). <https://doi.org/10.1016/j.enconman.2017.11.045>
- [7] R.Lizarte, M.Palacios-Lorenzo & J.Marcos, "Parametric study of a novel organic Rankine cycle combined with a cascade refrigeration cycle (ORC-CRS) using natural refrigerants", *Applied Thermal Engineering*, Vol. 127, No. 3, Pp. 78-89, (2017). <https://doi.org/10.1016/j.aplthermaleng.2017.08.063>
- [8] H.Ghaebi, T.Parikhani, H.Rostamzadeh & B. Farhang, "Thermodynamic and thermoeconomic analysis and optimization of a novel combined cooling and power (CCP) cycle by integrating of ejector refrigeration and Kalina cycles", *Energy*, Vol. 139, Pp. 262-276, (2017). <https://doi.org/10.1016/j.energy.2017.07.154>
- [9] M.Moghimi, M.Emadi , P. Ahmadi & H. Moghadasi, "4E analysis and multi-objective optimization of a CCHP cycle based on gas turbine and ejector refrigeration", *Applied Thermal Engineering*, Vol. 141, Pp. 516-530, (2018).  
<https://doi.org/10.1016/j.aplthermaleng.2018.05.075>
- [10] J.Li, P.Li, G. Pei , J.Z. Alvi & J. Ji , "Analysis of a novel solar electricity generation system using cascade Rankine cycle and steam screw expander", *Applied Energy*, Vol. 165, No. 6, Pp. 27-38, (2016).  
<https://doi.org/10.1016/j.apenergy.2015.12.087>
- [11] E. Bellos, C. Tzivanidis, "Parametric analysis and optimization of a cooling system with ejector-absorption chiller powered by solar parabolic trough collectors", *Energy Conversionand Management*, Vol. 168, No. 3, Pp. 29-42, (2018). <https://doi.org/10.1016/j.enconman.2018.05.024>
- [12] R. J. Souza, C. A. C. Dos Santos, A. A. V. Ochoa, A. S. Marques, , J. L. M. Neto & A.P. S. Michima, "Proposal 3E (energy, exergy, and exergoeconomic) assessment of a cogeneration system using an organic Rankine cycle and an Absorption Refrigeration System in the Northeast Brazil: Thermodynamic investigation of a facility case study", *Energy Conversion and Management*, Vol. 217, (2020). <https://doi.org/10.1016/j.enconman.2020.113002>
- [13] Y. Wang, T. Chen, Y. Liang, H. Sun & Y. Zhu, "A novel cooling and power cycle based on the absorption power cycle and booster-assisted ejector refrigeration cycle driven by a low-grade heat source: Energy, exergy and exergoeconomic analysis", *Energy Conversion and Management*, Vol. 204, No. 11, Pp. 21-23, (2020).  
<https://doi.org/10.1016/j.enconman.2019.112321>
- [14] M. A. Ashraf, Z. Liu, C. Li, W. X. Peng & H. Ghaebi, "Proposal and comprehensive analysis of an innovative CCP plant based on an internal integration of double flash power system and ejector refrigeration cycle", *Energy Conversion and Management*, Vol. 203, No. 11, Pp. 22-32 , (2020). <https://doi.org/10.1016/j.enconman.2019.112232>
- [15] T. K. Gogoi & P. Hazarika, "Comparative assessment of four novel solar based triple effect absorption refrigeration

- systems integrated with organic Rankine and Kalina cycles", *Energy Conversion and Management*, Vol. 226, No. 11, Pp. 35-61, (2020). <https://doi.org/10.1016/j.enconman.2020.113561>
- [16] M. Zoghi, H. Habibi, A. Y. Choubari & M. A . Ehyaei, "Exergoeconomic and environmental analyses of a novel multi-generation system including five subsystems for efficient waste heat recovery of a regenerative gas turbine cycle with hybridization of solar power tower and biomass gasifier", *Energy Conversion and Management*, Vol. 228, (2021). <https://doi.org/10.1016/j.enconman.2020.113702>
- [17] Y. Cao, H. A. Dhahad, H. M. Hussen & T. Parikhani, "Proposal and evaluation of two innovative combined gas turbine and ejector refrigeration cycles fueled by biogas: Thermodynamic and optimization analysis", *Renewable Energy*, Vol. 181, Pp. 749-764, (2022). <https://doi.org/10.1016/j.renene.2021.09.043>
- [18] P. Ahmadi, I. Fakhari & M. A. Rosen, "A comprehensive approach for tri-objective optimization of a novel advanced energy system with gas turbine prime mover, ejector cooling system and multi-effect desalination", *Energy*, Vol. 254, (2022). <https://doi.org/10.1016/j.energy.2022.124352>
- [19] A. H. Mosaffa, "A new combined power and dual ejector refrigeration system using zeotropic mixtures with composition adjustable driven by geothermal resource: An exergoeconomic performance evaluation", *Geothermics*, Vol. 108, No. 10, Pp. 26-29, (2023). <https://doi.org/10.1016/j.geothermics.2022.102629>
- [20] D. Dadpour, M. Gholizadeh, E. Lakzian, M. Delpisheh & H. D. Kim, "Vehicle refrigeration modification using an ejector: optimization and exergoeconomic analysis", *Journal of the Taiwan Institute of Chemical Engineers*, Vol. 148, (2023). <https://doi.org/10.1016/j.jtice.2023.104875>
- [21] M, R. H , J. Spitzenerger, S. K. Mohammadian & H. Ma, "Exergoeconomic analysis of an integrated humidification-dehumidification desalination/open-cycle ejector system for freshwater and cooling energy production", *Energy Conversion and Management*, Vol. 276, No. 11, Pp. 63-65 , (2023). <https://doi.org/10.1016/j.enconman.2022.116563>
- [22] Y. Jiang, Y. Ma, F. Han, Y. Ji, W. Cai & Z. Wang , "Assessment and optimization of a novel waste heat stepped utilization system integrating partial heating sCO<sub>2</sub> cycle and ejector refrigeration cycle using zeotropic mixtures for gas turbine", *Energy*, Vol. 265, (2023). <https://doi.org/10.1016/j.enconman.2022.116563>
- [23] Gaforian, H. Niazmand, "Optimization of Combined Cooling Heating and Power System (CCHP) by a Novel Hybrid Method", *Journal of Applied and Computational Sciences in Mechanics*, Vol. 30, No. 1, Pp. 61-78, (2019). <https://doi.org/10.22067/fum-mech.v30i1.60627>
- [24] T. Gholizadeh, H. Ghiasirad, A. Skorek-Osikowska & A. Arabkoohsar, "Techno-economic optimization and working fluid selection of a biogas-based dual-loop bi-evaporator ejector cooling cycle involving power-to-hydrogen and water facilities", *International Journal of Hydrogen Energy*, (2024). <https://doi.org/10.1016/j.ijhydene.2024.04.104>
- [25] K. Javaherdeh, M. Zoghi, Alizadeh, "Simulation of combined steam and organic rankine cycle from energy and exergoeconomic point of view with exhaust gas source", *Modares Mechanical Engineering*, Vol. 16, No. 7, Pp. 308-316, (2016). <http://dorl.net/dor/20.1001.1.10275940.1395.16.7.13.8>
- [26] P. Ahmadi, "Modeling, analysis and optimization of integrated energy systems for multigeneration purposes", Doctor of Philosophy (PhD), Faculty of Engineering and Applied Science, University of Ontario Institute of Technology,

(2013).

- [27] A. Bejan, E. Mamut, *Thermodynamic optimization of complex energy systems*, Springer Science & Business Media, (2012).
- [28] I. Dincer, and M.A. Rosen, "Exergy: energy, environment and sustainable development", *Applied Energy*, Vol. 64, No. 1-4, Pp. 427-440, (2012). [https://doi.org/10.1016/S0306-2619\(99\)00111-7](https://doi.org/10.1016/S0306-2619(99)00111-7)
- [29] P. Ahmadi, I. Dincer, "Thermodynamic analysis and thermoeconomic optimization of a dual pressure combined cycle power plant with a supplementary firing unit", *Energy Conversion and Management*, Vol. 52, No. 2, Pp. 296-308, (2011). <https://doi.org/10.1016/j.enconman.2010.12.023>
- [30] L. Liu, Z. Li, Y. Jing & S. Lv, "Energetic, economic and environmental study of cooling capacity for absorption subsystem in solar absorption-subcooled compression hybrid cooling system based on data of entire working period", *Energy Conversion and Management*, Vol. 167, No. 1, Pp. 65-75, (2018). <https://doi.org/10.1016/j.enconman.2018.04.102>
- [31] H. Li, F. Cao, X. Bu, L. Wang, & X. Wang, "Performance characteristics of R1234yf ejector-expansion refrigeration cycle", *Applied energy*, Vol. 121, No. 9, Pp. 6-10, (2014). <https://doi.org/10.1016/j.apenergy.2014.01.079>
- [32] FA, Al-Sulaiman, "Exergy analysis of parabolic trough solar collectors integrated with combined steam and organic Rankine cycles", *Energy Conversion and Management*, Vol. 77, No. 44, Pp. 1-9, (2014). <https://doi.org/10.1016/j.enconman.2013.10.013>
- [33] FA. Boyaghchi, M. Mahmoodnezhad, V. Sabeti, "Exergoeconomic analysis and optimization of a solar driven dual-evaporator vapor compression-absorption cascade refrigeration system using water/CuO nanofluid", *Journal of Cleaner Production*, Vol. 139, No. 9, Pp. 70-85, (2016). <https://doi.org/10.1016/j.jclepro.2016.08.125>
- [34] G. Florides, S. Kalogirou, S. Tassou, & L. Wrobel, "Design and construction of a LiBr–water absorption machine", *Energy Conversion and Management*, Vol. 44, No. 2, Pp. 483-508, (2003). [https://doi.org/10.1016/S0196-8904\(03\)00006-2](https://doi.org/10.1016/S0196-8904(03)00006-2)